

ВЗАИМОДЕЙСТВИЕ МОЛЕКУЛ ВОДЫ С ДВУМЕРНЫМ ДИОКСИДОМ ОЛОВА

А.А. УНАНЯН*

Ереванский государственный университет, Ереван, Армения

*e-mail: areg.hunanyan.ah@gmail.com

(Поступила в редакцию 19 июня 2021 г.)

Двумерный диоксид олова – перспективный материал, на основе которого создаются газовые сенсоры. В работе методом первых принципов исследовано взаимодействие молекул воды с двумерным диоксидом олова. Для различных адсорбционных структур рассчитаны энергии адсорбции, перенос заряда, плотность состояний и функция локализации электронов (ELF). В результате расчетов показано, что при взаимодействии молекул воды и двумерного диоксида олова, имеет место не химическая, а физическая адсорбция.

1. Введение

Диоксид олова (SnO_2) – металлооксидный полупроводник n-типа с широкой прямой запрещенной зоной 3.6 эВ при 300 К. SnO_2 интересен для различных применений из-за своей высокой химической и термодинамической стабильности, оптической прозрачности и других свойств [1]. SnO_2 применяется в различных областях, таких как газовые сенсоры [2], солнечные батареи [3], суперконденсаторы [4], литий-ионные батареи [5] и т.д. В частности, SnO_2 применяется в области газовых сенсоров из-за высокой химической чувствительности, низкой цены и быстрого газового отклика на газ [6–8]. Сегодня спрос на более чувствительные и селективные сенсоры растет. Параметры газовых сенсоров могут быть значительно улучшены за счет уменьшения размерности материала, что приводит к изменению его физических свойств. В частности, двумерные (2D) материалы имеют большое преимущество при применении в газовых сенсорах, потому что тонкие 2D-листы имеют большое отношение поверхности к объему и количество активных центров [9, 10]. В литературе по 2D SnO_2 имеется несколько работ, где теоретически описаны его свойства [11]. Кроме того экспериментально получены структуры с несколькими слоями SnO_2 [12].

Вода и водород являются наиболее распространенными материалами в окружении человека. Они оказывают огромное влияние на характеристики газовых сенсоров. Из экспериментальных и теоретических работ известно, что вода имеет тенденцию к диссоциации на поверхности объемного SnO_2 (110) [13]. В

данной работе изучен механизм адсорбции молекулы воды на 2D SnO₂ при помощи теории функционала плотности.

2. Теории и методы расчетов

Структурные и электронные свойства были исследованы с использованием первых принципов на основе теории функционала плотности [14,15]. Расчеты проводились с помощью программного пакета Vienna ab initio simulation package (VASP [16, 17]). Для структурной оптимизации используется функционал обменно-корреляционного обобщённого градиентного приближения (GGA), предложенного Perdew-Burke-Ernzerhof (PBE) [18]. Для расчетов мы выбрали 4×4×1 суперячейку, которая состоит из 48 атомов, после чего был сделан расчет сходимости граничной энергии и k -точек. В результате для интегрирования в обратном пространстве использовалась схема Г-центрированного Monkhorst-Pack [19] с сеткой 3×3×1 k -точек зоны Бриллюэна, а граничная энергия была выбрана 600eV.

Энергия адсорбции E_{ads} рассчитывается по следующей формуле:

$$E_{\text{ads}} = E_{\text{system}} - E_{2\text{D}} - E_{\text{molecule}}.$$

Здесь E_{system} – полная энергия системы с молекулами H₂O и 2D SnO₂, $E_{2\text{D}}$ – полная энергия 2D материала, а E_{molecule} – полная энергия молекулы.

Для изучения связей и вида адсорбции были рассчитаны функции локализации электронов, плотность состояний и был сделан Bader - анализ носителей заряда [20,21]. Кристаллические структуры были визуализированы с помощью программного обеспечения VESTA [22].

3. Обсуждение результатов

Прежде чем исследовать адсорбцию мы провели оптимизацию структуры. 2D SnO₂ имеет гексагональную (honeycomb) структуру (Рис.1), он принадлежит к тригональной кристаллической системе и имеет симметрию P $\bar{3}$ m1 (пространственная группа № 164). Параметры кристаллической решетки и координат атомов приведены в таблице 1.

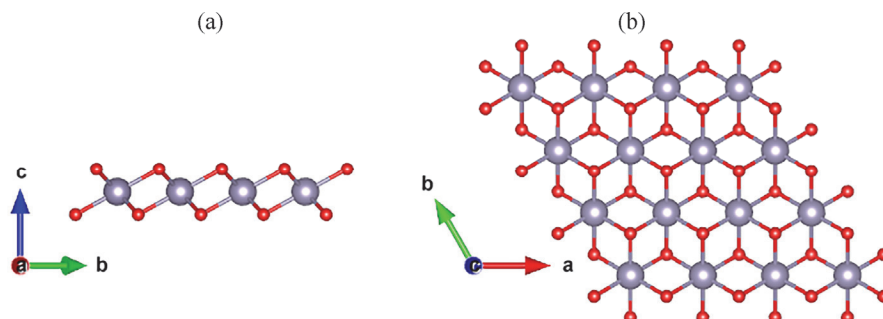


Рис.1. Структура 2D SnO₂, вид сбоку и сверху

Табл.1. Параметры кристаллической решетки 2D SnO₂

Кристаллическая система	a, Å	b, Å	c, Å	α	β	γ	Атомные дробные координаты
Тригональная	3.225	3.225	20.0	90.0	90.0	119.99	Sn (0.166 0.166, 0.500) O (0.500, 0.833, 0.550), (0.833, 0.500, 0.449)

Для суперячейки были выбраны несколько возможных адсорбционных центров. Мы выбрали две ориентации молекулы - при первом положении ближе к точке находится атом водорода, а при втором положении атом кислорода. Молекула была расположена над атомами Sn, O, а также в промежуточных двух точках (см. положения M1, M2 на рис.2). Расстояние между молекулой и центрами приблизительно равно 1.9–2.7 Å. Наименьшая энергия адсорбции получена в по-

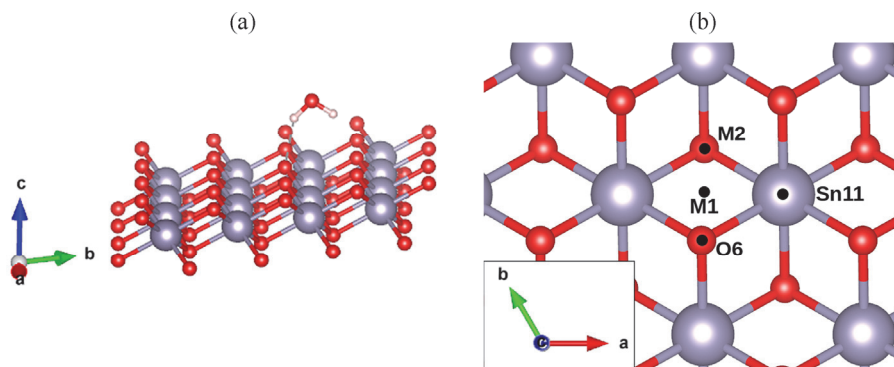


Рис.2. (а) Финальная структура адсорбции и (б) точки адсорбции.

ложении M1. Молекула расположена так, что атом водорода находится над атомом O (Рис.2а). Энергия адсорбции в этом случае –1.77 eV (Таблица 2) а дистанция между атомами H и O – 2.028 Å. Bader-анализ заряда показал, что суммарный заряд структуры и суммарный заряд молекулы не меняются (25бe для структуры, 8e для молекулы). Это означает, что между молекулой и 2D

Табл.2. Энергии адсорбции и минимальная дистанция молекулы от структуры

Точка адсорбции	Положение молекулы	Энергия адсорбции, eV	Минимальная дистанция молекулы от структуры, Å
Sn11	1	-1.719	2.075
O6	1	-1.689	2.424
M1	1	-1.772	2.028
M2	1	-1.676	1.958
Sn11	2	-1.708	2.559
O6	2	-1.615	2.564
M1	2	-1.716	2.315
M2	2	-1.693	2.664

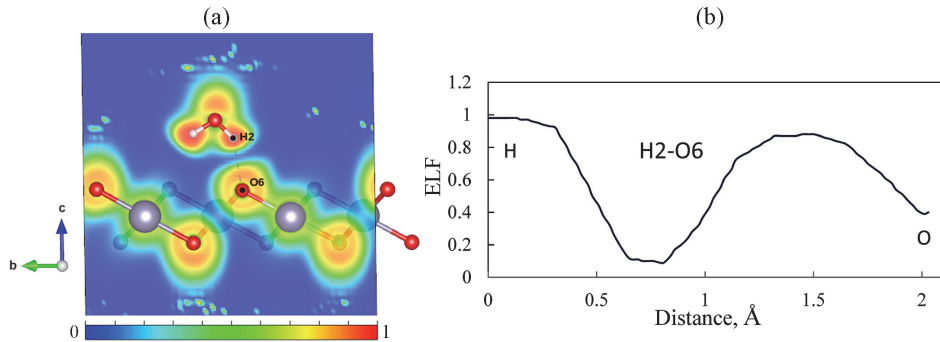


Рис.3. Функции локализации электронов (а) для финальной структуры (б) с H₂ на O₆.

материалом переноса заряда не наблюдается. Функция локализации электронов показала, что между молекулами Н и О накопление носителей отсутствует. Из этого следует что адсорбция не химическая, а физическая (Рис.3).

Расчеты плотности состояний показали, что в адсорбционной структуре состояния не меняются, а только добавляются состояния молекулы (Рис.4), что еще раз доказывает, что адсорбция – физическая.

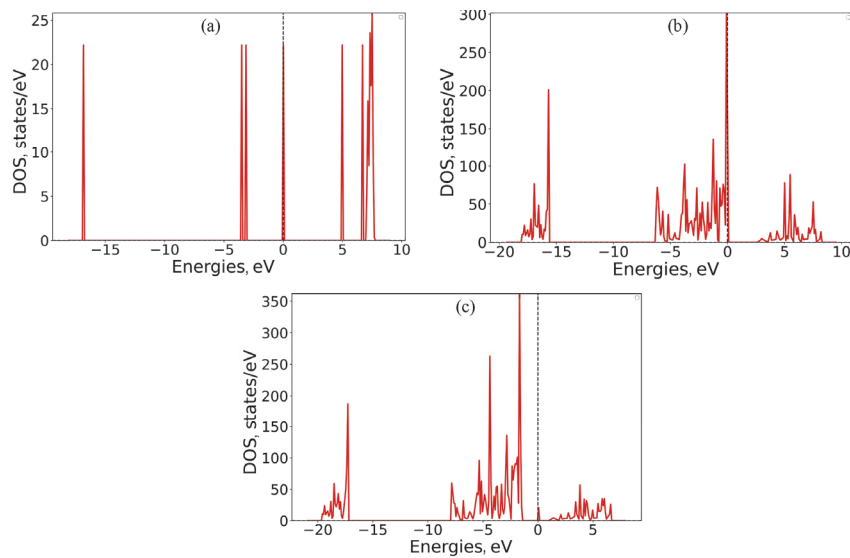


Рис.4. Плотность состояний для (а) молекулы воды, (б) двумерной SnO₂ и (с) адсорбционной структуры.

4. Заключение

В данной работе было изучено взаимодействие молекул воды с двумерным диоксидом олова с помощью теории функционала плотности. Были изучены 8 стартовых конфигураций молекулы и двумерной структуры. Bader-анализ заряда, функция локализации электронов и плотности состояний для релаксированных структур показали, что имеет место физическая адсорбция.

В процессе работы за содержательные обсуждения и техническую поддержку автор благодарен Айку Закаряну. Автор благодарен Институту проблем информатики и автоматизации НАН РА (<http://cloud.asnet.am/>) за компьютерные ресурсы, предоставленные для вычислений. Исследование выполнено при финансовой поддержке Комитета по науке РА в рамках научного проекта № 20АА-2F022.

ЛИТЕРАТУРА

1. **S. Das, V. Jayaraman.** Prog. Mater. Sci., **66**, 112 (2014).
2. **Q. Zhang, Q. Zhou, Z. Lu, Z. Wei, L. Xu, Y. Gui.** Front. Chem., **6**, 364 (2018).
3. **D. Liu, Y. Wang, H. Xu, H. Zheng, T. Zhang, P. Zhang, F. Wang, J. Wu, Z. Wang, Z. Chen, S. Li.** Sol. RRL, **3**, 1 (2019).
4. **Y. Zhang, Z. Hu, Y. Liang, Y. Yang, N. An, Z. Li, H. Wu.** J. Mater. Chem. A, **3**, 15057 (2015).
5. **L. Song, S. Yang, W. Wei, P. Qu, M. Xu, Y. Liu.** Sci. Bull., **60**, 892 (2015).
6. **V. Aroutiounian, V. Arakelyan, M. Aleksanyan, G. Shahnazaryan, P. Kacer, P. Picha, J. Kovarik, J. Pekarek, B. Joost.** J. Sensors Sens. Syst., **7**, 281 (2018).
7. **V. Aroutiounian, V. Arakelyan, M. Aleksanyan, A. Sayunts, G. Shahnazaryan, M. Vrnata, P. Fitl, J. Viček, K. Gharajyan, H. Kasparyan.** Armen. J. Phys., **10**, 122 (2017).
8. **V.M. Arakelyan, V.M. Aroutiounian, M.S. Aleksanyan, A.G. Sayunts, G.E. Shahnazaryan, P. Kacer, P. Picha, J.A. Kovarik, J. Pekarek, B. Joost.** The 18th Int. Conference on Sensors and Measurment Technology (AMA Conferences – SENSOR 2017). 2017, p.714.
9. **G. Gerasimov.** Adv. Environ. Anal. Appl. Nanomater. vol. 2, The Royal Society of Chemistry, 2017, pp. 133–152.
10. **K. Rajkumar, R.T.R. Kumar.** Gas Sensors Based on Two-Dimensional Materials and its Mechanisms, Elsevier Ltd, 2019.
11. **A. Patel, B. Roondhe, P.K. Jha.** AIP Conf. Proc., **1961**, 1 (2018).
12. **W. Wan, Y. Li, X. Ren, Y. Zhao, F. Gao, H. Zhao.** Nanomaterials, **8**(2), 112 (2018).
13. **H. Zakaryan.** Armen. J. Phys., **9**, 283 (2016).
14. **W. Kohn, L.J. Sham.** Phys. Rev., **140**, A1133 (1965).
15. **P. Hohenberg, W. Kohn.** Phys. Rev., **136**, B864 (1964).
16. **G. Kresse, J. Furthmüller.** Phys. Rev. B, **54**, 11169 (1996).
17. **G. Kresse, D. Joubert.** Phys. Rev. B, **59**, 1758 (1999).
18. **J.P. Perdew, K. Burke, M. Ernzerhof.** Phys. Rev. Lett., **77**, 3865 (1996).
19. **H.J. Monkhorst, J.D. Pack.** Phys. Rev. B, **13**, 5188 (1976).
20. **R.F.W. Bader.** Atoms in Molecules : A Quantum Theory, Oxford: Clarendon Press, 1990.
21. **G. Henkelman, A. Arnaldsson, H. Jónsson.** Comput. Mater. Sci., **36**, 354 (2006).
22. **K. Momma, F. Izumi.** J. Appl. Crystallogr., **44**, 1272 (2011).

ԶՐԻ ՄՈԼԵԿՈՒԼԻ ԵՎ ԵՐԿԱՍՓ ԱՆԱԳԻ ԵՐԿՕՔՍԻԴԻ
ՓՈԽԱԶԴԵՑՈՒԹՅՈՒՆԸ

Ա.Ա. ՀՈՒՆԱՆՅԱՆ

Երկշափ անագի երկօքսիդը խոստումնալից նյութերից է, որը կարող է օգտագործվել զազային տվյալներում: Այս աշխատության մեջ ուսումնասիրվել են ջրի մոլեկուլների փոխազդեցությունը երկշափ անագի երկօքսիդի հետ՝ օգտագործելով առաջին սկզբունքների մեթոդները: Աղսորբցիայի էներգիաները, լիցքի փոխանակումը, վիճակների խտությունը և էլեկտրոնների տեղայնացման ֆունկցիաները հաշվարկվում են տարբեր աղսորբցիոն կառուցվածքների համար: Արդյունքում ցույց է տրվել, որ ջրի մոլեկուլների և երկշափ անագի երկօքսիդի փոխազդեցության ընթացքում տեղի է ունենում ոչ թե քիմիական, այլ ֆիզիկական աղսորբցիա:

INTERACTION OF WATER MOLECULE WITH
TWO-DIMENSIONAL TIN DIOXIDE

A.A. HUNANYAN

Two-dimensional tin dioxide is a promising material that can be widely used in gas sensors. The interaction of water molecules with two-dimensional tin dioxide was investigated in this work using first principles (*ab initio*) methods. The adsorption energies, charge transfer, density of states and electron localization functions (ELF) are calculated for various adsorption structures. As a result, it was shown that during the interaction of water molecules and two-dimensional tin dioxide physical adsorption occurs (not chemical).